

1 – Relações Fundamentais em um Semicondutor

Em uma barra de material semicondutor com contatos ôhmicos A e B podemos escrever:

$$\frac{V_A - V_B}{V_T} = \int_A^B \frac{Jn}{q D_n n} dx - \frac{\phi}{V_T} \quad (1)$$

$$\frac{V_A - V_B}{V_T} = \int_A^B \frac{Jp}{q D_p p} dx - \frac{\phi}{V_T} \quad (2)$$

Sendo V_a a tensão externa aplicada entre A e B , podemos escrever que

$$V_A - V_B = V_a - \phi \quad (3)$$

Portanto temos que:

$$\frac{V_a}{V_T} = \int_A^B \frac{Jn}{q D_n n} dx = \int_A^B \frac{Jp}{q D_p p} dx \quad (4)$$

Como a relação que define o produto pn em qualquer ponto do semiconductor é dada por:

$$\frac{J_n}{q D_n n} - \frac{J_p}{q D_p p} = \frac{d}{dx} \left[\ln \left(\frac{pn}{n_i^2} \right) \right] \quad (5)$$

Se integrarmos a expressão acima desde o contato ôhmico A até um ponto x qualquer no semiconductor temos:

$$pn(x) = n_i^2 \exp \left[\int_A^x \frac{J_n}{q D_n n} dx - \int_A^x \frac{J_p}{q D_p p} dx \right] \quad (6)$$

Substituímos as integrais na expressão acima pelas expressões deduzidas anteriormente, podemos escrever o produto pn em qualquer ponto de um semiconductor como:

$$pn(x) = n_i^2(x) \exp\left(\frac{V_a}{V_T}\right) \exp \left[- \int_x^B \frac{J_n}{q D_n n} dx - \int_A^x \frac{J_p}{q D_p p} dx \right] \quad (7)$$

Este resultado é geral, e pode ser aplicado a qualquer semiconductor.

Um parâmetro importante no estudo dos transistores bipolares é a chamada EFICIÊNCIA DE INJEÇÃO

Por definição, a EFICIÊNCIA DE INJEÇÃO γ é a relação entre a densidade de corrente de elétrons e a densidade de corrente de lacunas, J_n e J_p .

Multiplicando-se por (pn/n_i^2) os dois lados da equação (5) temos que:

$$\frac{pn}{(n_i)^2} \cdot \left[\frac{J_n}{q D_n n} - \frac{J_p}{q D_p p} \right] = \frac{pn}{(n_i)^2} \cdot \frac{d}{dx} \left[\ln \left(\frac{pn}{n_i^2} \right) \right] \quad (8)$$

Ou seja

$$\frac{p}{(n_i)^2} \cdot \frac{J_n}{q D_n} - \frac{n}{(n_i)^2} \cdot \frac{J_p}{q D_p} = \frac{d}{dx} \left[\frac{pn}{n_i^2} \right] \quad (9)$$

Integrando a equação (9) entre dois contatos A e B vem que:

$$\int_A^B \frac{p}{n_i^2} \cdot \frac{J_n}{q D_n} dx - \int_A^B \frac{n}{n_i^2} \cdot \frac{J_p}{q D_p} dx = \left[\frac{pn}{(n_i)^2} \right]_B - \left[\frac{pn}{(n_i)^2} \right]_A = 0 \quad (10)$$

Dessa forma temos:

$$\int_A^B \frac{p}{n_i^2} \cdot \frac{J_n}{q D_n} dx = \int_A^B \frac{n}{n_i^2} \cdot \frac{J_p}{q D_p} dx$$

Se desprezarmos a recombinação, as densidades de corrente J_n e J_p são constantes e podemos escrever:

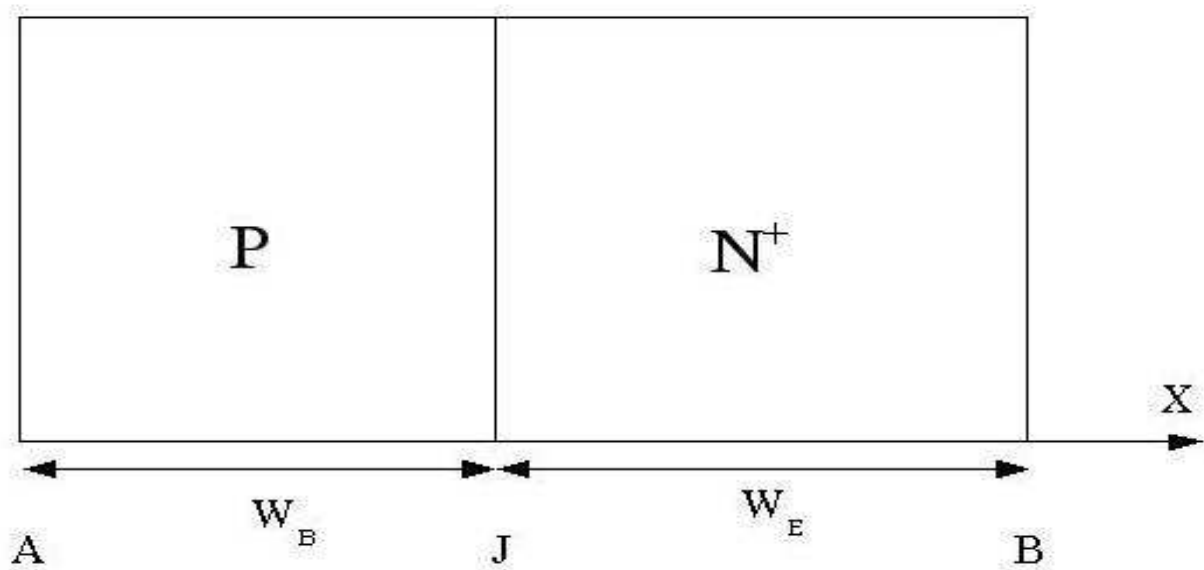
$$\gamma = \frac{J_n}{J_p} = \frac{\int_A^B \frac{n}{D_p n_i^2} dx}{\int_A^B \frac{p}{D_n n_i^2} dx} \quad (11)$$

Esta relação é uma das mais importantes no projeto de um transistor bipolar, sendo responsável pelo ganho intrínseco do dispositivo.

APLICAÇÃO NA JUNÇÃO PN

Para nossas análises, vamos considerar uma junção *PN* com características similares à de uma junção Base-Emissor de um transistor bipolar *NPN*.

- Região *N+* do emissor é muito mais dopada do que a região *P* da base.



W_B = Largura da base

W_E = Largura do emissor

N_a, N_d = Dopagens das regiões P e N^+

Antes de aplicar a relação calculada para a eficiência de injeção, podemos fazer algumas simplificações:

$$\int_A^B \frac{n}{D_p n_i^2} dx = \int_J^B \frac{n}{D_p n_i^2} dx \simeq \int_J^B \frac{N_D}{D_p n_i^2} dx \simeq \frac{Q_E}{q D_{pE} n_i^2} \quad (12)$$

Onde Q_E é a carga de átomos doadores na região N^+ , e o valor de:

$$D_{pE} n_i^2$$

Deve ser o valor MÉDIO do produto da constante de difusão das lacunas pelo quadrado da concentração intrínseca dentro da região N^+ , que pode ser calculado como:

$$D_{pE} n_i^2 = \frac{\int_J^B N_D dx}{\int_J^B \frac{N_D}{D_p n_i^2} dx} \quad (13)$$

Podemos escrever que:

$$\int_A^B \frac{p}{D_n n_i^2} dx = \int_A^J \frac{p}{D_n n_i^2} dx + \int_J^B \frac{p}{D_n n_i^2} dx \quad (14)$$

Esta equação é, muitas vezes, apresentada em função da **cargas** acumuladas em cada região, ou seja:

$$\int_A^B \frac{p}{D_n n_i^2} dx = \frac{Q_B}{q D_{nB} n_{iB}^2} + \frac{Q_{SB}}{q D_{nB} n_{iB}^2} + \frac{Q_{SE}}{q D_{nE} n_{iE}^2} \quad (15)$$

Onde:

Q_B = Carga de átomos aceitadores que dopam a região P

Q_{SB} = Carga de elétrons excedentes armazenados na base

Q_{SE} = Carga de lacunas excedentes armazenadas no emissor

Usando as equações (11), (14) e (15), podemos calcular a **Eficiência de Injeção** como sendo:

$$\gamma = \frac{J_n}{J_p} = \frac{\gamma_0}{1 + \frac{Q_{SB}}{Q_B} + \frac{D_{NB} n_{iB}^2}{D_{NE} n_{iE}^2} \cdot \frac{Q_{SE}}{Q_B}} \quad (16)$$

Onde

$$\gamma_0 = \frac{D_{NB} n_{iB}^2}{D_{NE} n_{iE}^2} \cdot \frac{Q_E}{Q_B} \quad (17)$$

Se a estrutura está conduzindo correntes de pequenos valores, o valor das cargas Q_{SB} e Q_{SE} são muito inferiores ao valor Q_B .

Podemos concluir, portanto, que em baixos níveis de corrente, podemos aproximar:

$$\gamma \simeq \gamma_0$$

γ_0 É chamada de eficiência de injeção de baixos níveis.

É possível observar que:

- ✓ Quanto maior a dopagem do emissor (Q_E), maior é a Eficiência de Injeção a baixos níveis de corrente;
- ✓ Quanto menor a dopagem da base (Q_B), maior é a Eficiência de Injeção a baixos níveis de corrente.

O aumento do valor da carga Q_E no emissor não resulta sempre em um aumento linear da Eficiência de Injeção, pois o aumento excessivo da dopagem no emissor pode levar à ocorrência do fenômeno de degenerescência (mudança da largura da banda proibida), fazendo com que γ_0 diminua. Este fenômeno será estudado mais tarde,

Para estudarmos a variação da Eficiência de Injeção em função das correntes que atravessam a junção PN, devemos estudar as variações de Q_{SE} e Q_{SB} .

A carga armazenada no emissor é dada por:

$$Q_{SE} = \tau_E \cdot J_P$$

(18)

Onde τ_E é o tempo de trânsito dentro de emissor.

Se o nível de corrente no emissor é baixo, o valor de τ_E é uma função direta do perfil de dopagem. Se o perfil de dopagem é uniforme, o valor de τ_E é dado por:

$$\tau_E = \frac{(W_E)^2}{2 D_{pE}}$$

(19)

o que resulta em um valor relativamente pequeno, e portanto **o valor de Q_{SE} pode ser, nestas condições, desprezado.**

No entanto, se o perfil de dopagem do emissor é do tipo Erfc (Função Erro Complementar) ou gaussiano, aparece um campo elétrico retardador importante

$$\vec{E} = - \frac{V_T}{N_D} \cdot \frac{dN_D}{dx}$$

(20)

e o valor de τ_E pode ser suficientemente alto para que a carga Q_{SE} passe a desempenhar um papel importante.

Devemos notar, entretanto, que a degenerescência, fenômeno que pode aparecer devido à forte dopagem no emissor, contraria a influência deste campo. Pode-se mostrar que o campo total que aparece na região N^+ é dado por:

$$\vec{E} = - \frac{V_T}{N_D} \cdot \frac{dN_D}{dx} + \frac{V_T}{N_C} \cdot \frac{dN_C}{dx} \quad (21)$$

onde N_C é a densidade de estado na banda de condução.

Mostramos abaixo uma tabela onde foram calculados (através de simulação numérica) os valores de τ_E para um emissor dopado com $C_s = 1.10^{21} \text{ atm} \cdot \text{cm}^{-3}$ com profundidade de junção igual a $3 \mu\text{m}$.

	Tipo de Perfil	Uniforme	Exponencial	Gaussiano
Tempo de Trânsito no Emissor	Sem Degenerescência	0,37 ns	10 ns	450 ns
	Com Degenerescência	0,37 ns	1,7 ns	14 ns

Concluimos que a DEGENERESCÊNCIA NO EMISSOR desempenha um papel fundamental para perfis de dopagens normalmente encontrados em transistores “reais”.

Analogamente, para a região P (que será a base no transistor bipolar), podemos escrever:

$$Q_{SB} = \tau_B \cdot J_n \quad (22)$$

Onde τ_B é o tempo de trânsito dos elétrons dentro da base.

É possível calcular analiticamente os valores de τ_B :

- para níveis muito baixos de corrente;
- para níveis muito altos de corrente.

Quando os níveis de corrente são muito baixos, dentro da base podemos aproximar $n(x) \ll p(x)$, e integrando a expressão (9), repetida abaixo:

$$\frac{p}{(n_i)^2} \cdot \frac{J_n}{q D_n} - \frac{n}{(n_i)^2} \cdot \frac{J_p}{q D_p} = \frac{d}{dx} \left[\frac{pn}{n_i^2} \right] \quad (9)$$

podemos escrever os portadores minoritários como sendo:

$$n(x) = \frac{J_n}{q D_n} \cdot \frac{\int_A^x \frac{N_A(x)}{n_i^2} dx}{\frac{N_A(x)}{n_i^2}} \quad (23)$$

onde $N_A(x)$ é a concentração dos átomos doadores na região P (base).

Dessa forma, usando a definição do tempo de trânsito na base como sendo a relação Q_{SB}/J_n , e lembrando que Q_{SB} pode ser calculado com a integral de $n(x)$ dentro da base, temos:

$$\tau_B = \int_A^J \frac{1}{D_n} \cdot \frac{\int_A^x \frac{N_A(x)}{n_i^2} dx}{\frac{N_A(x)}{n_i^2}} \quad (24)$$

Para o caso de uma região de base uniformemente dopada (caso que é raramente encontrado em um transistor bipolar), temos o resultado clássico:

$$\tau_B = \frac{(W_B)^2}{2 D_{nB}} \quad (25)$$

Para uma região de base com dopagem exponencial (caso que também não ocorre na prática, porém é fácil de resolver de forma analítica), para um perfil dado por:

$$N_A(x) = N_{AJ} \cdot e^{+\eta \left(\frac{x - W_B}{W_B} \right)} \quad (26)$$

Onde η é dado por $\eta = \ln \frac{N_{AJ}}{N_{AA}}$

e admitindo que $n_i(x)$ é independente de x , obtemos:

$$\tau_B = \frac{(W_B)^2}{D_{nB}} \cdot \frac{e^{-\eta} + \eta - 1}{\eta^2} \quad (27)$$

Para **níveis de corrente muito altos**, onde seja válida a aproximação $n \approx p$ na **região da base**, podemos dizer que $J_n \gg J_p$ e, a partir da expressão (9), é possível mostrar que:

$$\tau_B \simeq \int_A^J \left[\frac{(n_i)^x}{2} \int_A^x \frac{dx}{D_{nB} n_i} \right] dx \quad (28)$$

Se o valor de n_i é independente de x , o tempo de trânsito na base pode ser calculado, para qualquer perfil de dopagem, como sendo:

$$\tau_B = \frac{(W_B)^2}{4 D_{nB}} \quad (29)$$

Os valores de τ_B para situações entre estes dois casos extremos não é possível de ser calculado analiticamente.

É comum usarmos o valor dado na expressão (29) para calcular o tempo de trânsito na base, uma vez que esta é uma situação de pior caso.

É importante notar que o valor de τ_B aumenta com o **quadrado da largura de base**, ou seja, é muito importante controlarmos W_B no processo de fabricação para evitarmos uma variação excessiva na resposta em frequência do transistor.

A característica *corrente x tensão* também pode ser também calculada a partir da expressão (9).

Integrando a expressão (9) dentro da região do emissor (entre a junção J e o contato B) temos:

$$-\int_J^B \frac{p J_n}{q D_n n_i^2} dx + \int_J^B \frac{n J_p}{q D_n n_i^2} dx = \left[\frac{pn}{(n_i)^2} \right]_J - 1 \approx \left[\frac{pn}{(n_i)^2} \right]_J \quad (30)$$

Usando as expressões (11), (12) e (15) podemos concluir que:

$$-\int_J^B \frac{p J_n}{q D_n n_i^2} dx \approx \int_J^B \frac{n J_p}{q D_n n_i^2} dx \frac{\frac{Q_{SE}}{D_{nE} n_{iE}^2}}{\frac{Q_B + Q_{SB}}{D_{nB} n_i^2} + \frac{Q_{SE}}{D_{nE} n_i^2}} \quad (31)$$

Usando as expressões (31), podemos reescrever a equação (30):

$$J_p = \frac{q^2 D_{pE} n_{iE}^2}{Q_E} \cdot \left[\frac{pn}{(n_i)^2} \right]_J \left[1 + \frac{D_{nB} n_{iB}^2}{D_{nE} n_{iE}^2} \cdot \frac{Q_{SE}}{Q_B + Q_{SB}} \right] \quad (32)$$

De forma análoga, podemos escrever a corrente de elétrons como:

$$J_n = \frac{q^2 D_{nB} n_{iB}^2}{Q_B} + Q_{SB} \cdot \left[\frac{pn}{(n_i)^2} \right]_J \quad (33)$$

Com o valor de (pn/n_i^2) dado pela expressão (7), aqui repetida

$$pn(x) = n_i^2(x) \exp\left(\frac{V_a}{V_T}\right) \exp\left[-\int_x^B \frac{J_n}{q D_n n} dx - \int_A^x \frac{J_p}{q D_p p} dx\right]$$

desprezando as quedas de tensão internas ao semicondutor e aplicando a aproximação de Boltzman,

$$pn(x) \simeq n_i^2(x) \exp\left(\frac{V_a}{V_T}\right) \quad (34)$$

podemos escrever J_n e J_p como:

$$J_p = \frac{q^2 D_{pE} n_{iE}^2}{Q_E} \left[1 + \frac{D_{nB} n_{iB}^2}{D_{nE} n_{iE}^2} \cdot \frac{Q_{SE}}{Q_B + Q_{SB}} \right] \exp\left(\frac{V_a}{V_T}\right) \quad (35)$$

$$J_n = \frac{q^2 D_{nB} n_{iB}^2}{Q_B + Q_{SB}} \exp\left(\frac{V_a}{V_T}\right) \quad (36)$$

Como as integrais $-\int_x^B \frac{J_n}{q D_n n} dx$ e $-\int_A^x \frac{J_p}{q D_p p} dx$

Representam, na prática, às quedas de tensão ôhmicas dentro de cada lado da junção, e em geral estes valores são muito menores do que V_T , podemos desprezá-las na equação (7).